

Título do trabalho

Nome do Autor

9 de agosto de 2020

1 Introdução

Isto é um parágrafo. Isto é um parágrafo. Isto é um parágrafo. Isto é um parágrafo.
Isto é um parágrafo. Isto é um parágrafo. Isto é um parágrafo. Isto é um parágrafo. Isto
é um parágrafo. Isto é um parágrafo. Isto é um parágrafo. Isto é um parágrafo. Isto é
um parágrafo. Isto é um parágrafo. Isto é um parágrafo. Isto é um parágrafo. Isto é
um parágrafo. Isto é um parágrafo. Isto é um parágrafo. Isto é um parágrafo. Isto é
um parágrafo. Isto é um parágrafo. Isto é um parágrafo. Isto é um parágrafo. Isto é
um parágrafo. Isto é um parágrafo. Isto é um parágrafo. Isto é um parágrafo. Isto é um
parágrafo. Isto é um parágrafo. Isto é um parágrafo. Isto é um parágrafo. Isto é um
parágrafo. Isto é um parágrafo. Isto é um parágrafo. Isto é um parágrafo.

Algumas citações: (Chorin, 1968) Guermond et al. (2006); Guermond e Shen (2003) (Munz et al., 2003; Thomadakis e Leschziner, 1996)

Aqui temos uma equação:

$$W = \int p dV \quad (1)$$

onde p é a pressão.

2 Metodologia

Isto é um parágrafo. Isto é um parágrafo. Isto é um parágrafo. Isto é um parágrafo.
Isto é um parágrafo. Isto é um parágrafo. Isto é um parágrafo. Isto é um parágrafo. Isto
é um parágrafo. Isto é um parágrafo. Isto é um parágrafo. Isto é um parágrafo. Isto é
um parágrafo. Isto é um parágrafo. Isto é um parágrafo. Isto é um parágrafo. Isto é
um parágrafo. Isto é um parágrafo. Isto é um parágrafo. Isto é um parágrafo. Isto é
um parágrafo. Isto é um parágrafo. Isto é um parágrafo. Isto é um parágrafo. Isto é
um parágrafo. Isto é um parágrafo. Isto é um parágrafo. Isto é um parágrafo. Isto é um
parágrafo. Isto é um parágrafo. Isto é um parágrafo. Isto é um parágrafo. Isto é um
parágrafo. Isto é um parágrafo. Isto é um parágrafo. Isto é um parágrafo.

A figura 1 tem sua largura igual a 40 da largura do texto.

Figuras e tabelas flutuam no texto. o L^AT_EX tenta posicioná-las de forma a otimizar o máximo de espaço.

A tabela 1 mostra um exemplo de tabela.

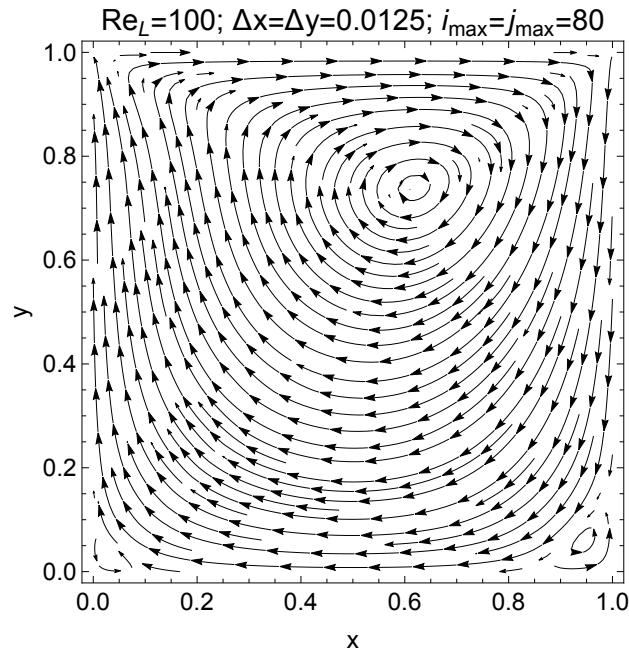


Figura 1: Linhas de Corrente

Method	Value	Units
MMSE	138.23	Hz
LMMSE	132.21	Hz

Tabela 1: Exemplo de tabela.

3 Resultados

Veja com é fácil introduzir equações com linha própria.

$$\Delta = \sum_{i=1}^N w_i (x_i - \bar{x})^2. \quad (2)$$

Assim se insere uma equação na linha: $x = 0$.

Isto é um parágrafo. Isto é um parágrafo. Isto é um parágrafo. Isto é um parágrafo.
Isto é um parágrafo. Isto é um parágrafo. Isto é um parágrafo. Isto é um parágrafo. Isto
é um parágrafo. Isto é um parágrafo. Isto é um parágrafo. Isto é um parágrafo. Isto é
um parágrafo. Isto é um parágrafo. Isto é um parágrafo. Isto é um parágrafo. Isto é
um parágrafo. Isto é um parágrafo. Isto é um parágrafo. Isto é um parágrafo. Isto é
um parágrafo. Isto é um parágrafo. Isto é um parágrafo. Isto é um parágrafo. Isto é
um parágrafo. Isto é um parágrafo. Isto é um parágrafo. Isto é um parágrafo. Isto é um
parágrafo. Isto é um parágrafo. Isto é um parágrafo. Isto é um parágrafo.

4 Conclusão

Isto é um parágrafo. Isto é um parágrafo. Isto é um parágrafo. Isto é um parágrafo.
Isto é um parágrafo. Isto é um parágrafo. Isto é um parágrafo. Isto é um parágrafo. Isto
é um parágrafo. Isto é um parágrafo. Isto é um parágrafo. Isto é um parágrafo. Isto é
um parágrafo. Isto é um parágrafo. Isto é um parágrafo. Isto é um parágrafo. Isto é
um parágrafo. Isto é um parágrafo. Isto é um parágrafo. Isto é um parágrafo. Isto é
um parágrafo. Isto é um parágrafo. Isto é um parágrafo. Isto é um parágrafo. Isto é
um parágrafo. Isto é um parágrafo. Isto é um parágrafo. Isto é um parágrafo. Isto é um
parágrafo. Isto é um parágrafo. Isto é um parágrafo. Isto é um parágrafo.

Referências

- Chorin, A. J. (1968). Numerical solution of the Navier-Stokes equations. *Mathematics of Computation*, 22:745–762.
- Guermond, J. L., Mineev, P. e Shen, J. (2006). An overview of projection methods for incompressible flows. *Comput. Methods Appl. Mech. Engrg.*, 195:6011–6045.
- Guermond, J. L. e Shen, J. (2003). Velocity-correction projection methods for incompressible flows. *SIAM Journal on Numerical Analysis*, 41(1):112–134.
- Munz, C. D., Roller, S., Klein, R. e Geratz, K. J. (2003). The extension of incompressible flow solvers to the weakly compressible regime. *Computers & Fluids*, 32(2):173–196.
- Thomadakis, M. e Leschziner, M. (1996). A pressure-correction method for the solution of incompressible viscous flows on unstructured grids. *International Journal for Numerical Methods in Fluids*, 22(7):581–601.